

탄소중합체를 이용한 다점 박판 성형

박종우*

Multi-point sheet forming using elastomer

Jong-Woo Park

Abstract

Recently, instead of a matched die forming method requiring a high cost and long delivery term, a multi-point dieless forming method using a pair of matrix type punch array as flexible dies has been developed. As this multi-point dieless forming method has some disadvantage of difficulty in precise punch control and high-cost of equipment, a new concept of multi-point dieless forming method combined with elastomer forming was suggested in this study. For optimal selection of elastomers, compression tests of rubbers, polyethylene and foams were carried out together with FEM analysis of the deformation behavior during sheet forming process using a rigid punch and elastomers. Compressive strain was concentrated on the upper central area of the elastomer under the punch, and the rubber exhibited higher concentration of the compressive strain than foams. Two-dimensional curved surface was formed successfully by the multi-point elasto-dieless forming method using an optimal combination of a rubber and foam.

Key Words : Sheet Forming, Multi-Point Forming, Elastomer Forming, Two-Dimensional Curved Surface, FEM Analysis.

1. 서 론

자동차 산업을 중심으로 한 금속 판재 성형은 생산성과 정밀도가 높은 matched die가 주로 사용되어 왔다. 그러나 matched die는 가격이 비싸기 때문에 항공기, 철도차량, 선박 등 대형의 금형이 요구되는 산업 분야에는 사용하기 어렵고, 또 금형 디자인과 제조에 장기간이 소요되므로 신제품 개발 기간의 단축에 장애가 될 수 있다. 따라서 금형을 전혀 사용하지 않고도 다양한 형상의 제품을 제조할 수 있는 dieless sheet forming 기술 개발은 여러 산업체의 오랜 꿈이었다.

Dieless sheet forming 기술 중 다수의 금속봉으로 곡면을 만들어 금형 대신 사용하는 multi-point forming (MPF) 법이 근래 일본, 미국, 중국 등에서 개발되어 일부 분야에서는 실용화가 시작되었다.^(1,2) 이 방법은 금속봉이나 punch의 배열만 바꾸면 다양한 모양의 곡면을 만들 수 있기 때문에 선진국에서는 특히, 고가의 대형 성형품이 필요한 항공기, 철도차량, 선박 등의 산업체가 기술개발을 지속해 왔다. 그러나 곡면 형성 후 금속봉을 고정시켜 금형 대신 사용하는 MPF 법은 성형결함의 발생이 잦은 단점이 있어서 아직 복잡한 형상의 성형에는 이용되지 못하고 있다.

* 한국과학기술연구원 재료연구부

최근에는 각각의 금속봉에 위치제어 장치를 부착하여 연속적으로 곡면을 형성하는 능동형 punch 방식의 MPF 기술도 개발되고 있다.⁽³⁾ 이 방식은 금속봉을 미리 정해진 곡면 위치에 고정시켜 성형하는 MPF 법에 비해 곡면 형성이 자유롭고 성형 결합의 발생이 적은 장점이 있으나 장비 가격이 고가여서 아직 널리 활용되지는 않고 있다.

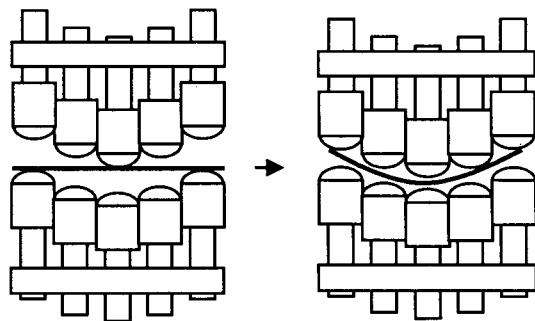
본 연구는 elastomer와 single die를 사용하여 성형하는 elasto-forming (EF) 법을 MPF 법과 결합하여 기존 MPF 법의 단점을 극복할 수 있는 새로운 개념의 multi-point elasto-forming (MPEF) 법을 소개하고, 그 응용 가능성을 조사하고자 한다. 이를 위해 5개의 능동형 punch로 구성된 유압식의 2차원 곡면 성형장치가 개발되었으며, 각종 elastomer와 금속판재의 변형특성 실험과 함께 FEM (Finite element method) 성형해석이 이루어지고, 그 결과와 개발된 장치를 이용하여 실제 곡면 성형이 시도되었다.

2. Multi-point dieless 성형의 원리와 특징

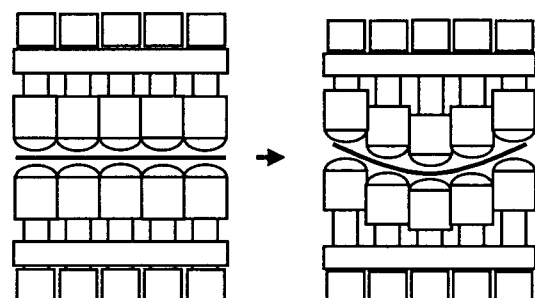
2.1 Multi-point forming

MPF의 기본 원리는 금형을 여러 조각으로 나누어 각 조각의 위치를 조절함으로써 2차원 또는 3차원 곡면을 자유롭게 만들어 기존의 matched die 대신 판재 성형에 사용하는 것이다.⁽³⁾ 따라서 일단 다점 성형 장치를 만들면 매번 다른 금형을 만들지 않고도 다양한 형상의 판재 성형이 가능하다. 성형 가능한 곡면 형상과 정밀도는 금형을 몇 조각으로 나누었는가에 크게 좌우된다. 실제 MPF 장치는 상하 양면에 다수의 금속봉이 matrix 형태로 배열되어 있으며, 금속봉의 선두는 반구 곡면체에 가까운 형상을 하고 있다. 금속봉은 외부 동력에 의해 Fig. 1과 같이 미리 정해진 위치로 이동한 다음 고정시켜 사용하는 수동식과, Fig. 2와 같이 각각 위치제어 장치가 부착되어 연속적으로 이동하면서 성형하는 능동식이 있다.⁽⁴⁾ (능동식 금속봉을 이후 punch라 명명함).

수동식은 가격이 저렴하지만 곡면 형성에 상당한 시간이 소요되고, 금속봉의 돌출된 곡면과 성형판재가 닿는 부분에서 성형결함이 발생하기 쉬운 단점이 있다. 반면에 능동식은 수동식보다 곡면 형성이 신속하고, 성형 초기 단계부터 모든 punch가 성형 판과 닿은 상태로 동시에 움직이기 때문에 성형결함 발생이 적다. 그러나 능동식은 각각의 punch에 고가의 위치제어 장치가 부착되기 때문에 장비 가격이 매우 비싼 단점이 있다.



(a) before forming (b) during forming
Fig. 1 Fixed type multi-point forming process.



(a) before forming (b) during forming
Fig. 2 Active type multi-point forming process.

또한 능동식은 Fig. 3에서 보는 바와 같이 성형 전 판재가 평탄한 상태에서는 모든 상하 punch의 간격이 동일하고, 상하 접촉점이 수직선상에서 서로 일치하지만 판재가 성형되기 시작하여 경사면이 되면 상하 punch와 판재의 접촉점이 동일 수직선상으로부터 벗어나 서로 어긋나기 때문에 판재가 성형되는 동안 그 위치와 간격이 시시각각 변한다. 특히, 판재의 상하면이 모두 punch와 접촉상태이므로 특정한 punch에 높은 압력이 가해지거나 위치가 조금만 어긋나도 판재에 punch 자국이나 주름이 발생하기 쉽다. 따라서 성형 중 연속적으로 변하는 상하 punch의 위치와 간격을 정확하게 제어하기 위해 고도의 기술이 필요하다.

MPF 장치로 성형 결함을 줄이고 성형 정밀도를 높이기 위해서는 단위면적당 punch 수가 높아야 한다. 그러나 punch 밀도가 높아질수록 punch 사이의 간격이 좁아서 각각의 punch에 위치 제어 장치를 부착할 공간이 부족하므로 자동화가 어려워진다. 뿐만 아니라 punch 수의 증가에 따라 장비의 가격은 더욱 비싸지기 때문에 이 방식은 대형의 박판 성형에 이용하기가 쉽지 않다.

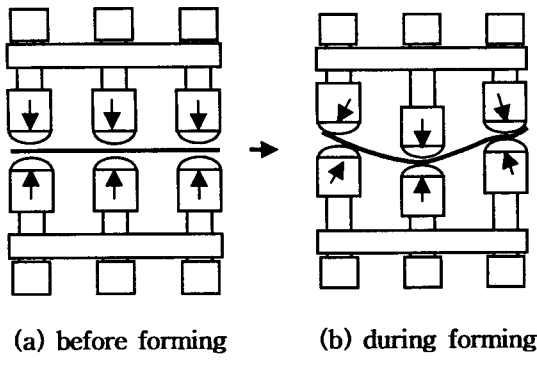


Fig. 3 Change in contact points and formation of surface defects.

2.2 Multi-point elasto-forming

MPEF는 MPF와 EF 방식을 결합하여, Fig. 4와 같이, 기존의 MPF 방식에서 마주보는 양쪽 금속봉이나 punch 배열 중 한쪽을 elastomer(탄소중합체 또는 고분자 탄성체)로 대체한 것이다.⁽⁵⁾ Elastomer는 신축이 자유롭고, 반대편의 punch 움직임에 따라 위치가 자유로이 변하므로 별도의 위치 제어를 하지 않아도 punch와 동일한 곡면이 자연적으로 만들어진다. 그러므로 소재 양면의 금속봉이나 punch 위치를 동시에 제어해야 하는 기존의 MPF 방식과는 달리, 위치 제어가 단순하고 용이하다. 또한 성형 소재 양면에서 점접촉을 하여 국부적으로 힘이 집중되는 MPF와는 달리 MPEF는 소재 한 면이 면 접촉을 하기 때문에 성형 중 힘이 골고루 분산되어 자국이나 주름 같은 성형 결함이 잘 발생하지 않는 장점이 있다.

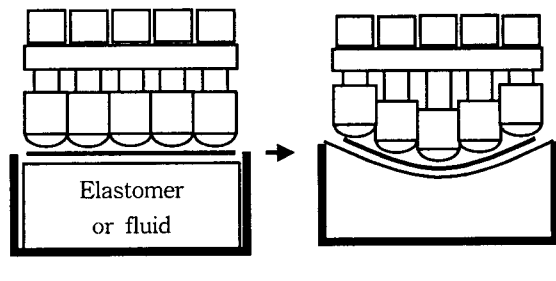


Fig. 4 Multi-point elasto-forming process.

한편 deep drawing과 같은 성형이 불가능한 기존의 MPF 방식과는 달리, MPEF 방식은 Fig. 5와 같이 deep drawing뿐만 아니라 금형을 사용한 성형도 가능하므로 다기능, 다목적으로 활용할 수 있다. 이 때 금형은 EF처럼 single die이므로 금형 가격이 절감되고, 제작기간이

단축된다. 또한 MPEF 장치 중 일부 punch에 blank holder를 부착하여 소재에 적절한 압력을 가하면 stretch forming 효과도 얻을 수 있고, deep drawing 시에는 소재가 좁은 금형으로 들어갈 때 주름이 발생하는 것을 방지할 수도 있다. 그 외에도 MPEF는 MPF 장치에 비해 금속봉이나 punch 수를 반으로 줄일 수 있을 뿐만 아니라 elastomer는 punch 가격의 1/100 이하이기 때문에 제작비가 40% 이상 저렴하다.

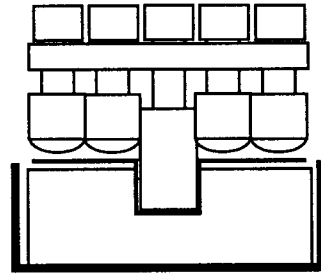


Fig. 5 Deep drawing by multi-point elasto-forming method.

3. 실험 방법

3.1 금속과 Elastomer의 인장, 압축 특성

다점-elastomer 성형은 금속판재가 elastomer와 함께 변형되는데, 금속은 주로 소성변형을 하며, elastomer는 탄성변형을 하기 때문에 이 두 소재가 동시에 변형될 때는 탄성과 소성이 혼합된 변형을하게 된다. 또한 금속과 elastomer는 다양한 종류가 있고, 재료마다 변형특성이 다르므로 이러한 변형특성의 차이는 다점-elastomer 성형 시스템의 최적 설계와 성형 공정을 결정하는 주요 인자가 될 수 있다. 여기서는 알루미늄 합금과 스텐레스강 등의 금속재료와 polyethylene(PE), 고무 및 foam재 등의 elastomer를 대상으로 변형특성을 조사, 비교하여, FEM 성형해석과 실제 성형실험에 기초자료로 활용하고자 한다. 고무는 천연고무와 styrene-butadiene이 각각 45:56과 46:54의 비율로 혼합된 흑색과 황색의 2종류가 사용되었다.

MPEF에서 예상되는 주된 변형 mode와 재료의 형태를 고려하여 금속판재는 인장특성, elastomer는 압축변형 특성이 조사되었다. 금속판재의 인장시험은 표점거리 50 mm인 표준시편과 Instron 인장시험기를 사용하여 실험하였다. Elastomer는 정밀 압축실험 장비인 Fuji EIC

의 Thermecmaster-Z 시험기에서 가로와 세로가 31 mm, 두께 10 mm인 시편을 지름 20 mm인 압축봉으로 1/초의 속도로 눌러 실험하였다. 단, Foam재는 압축강도가 너무 낮아서 소형시편을 사용하는 Thermecmaster-Z로는 압축 하중의 측정이 불가능하여 Shimatz 인장-압축시험기에서 측정 가능한 하중이 나오도록 가로, 세로 각각 200 mm이고 두께 10 mm인 판을 10장 겹쳐 전체 면적을 눌러 압축실험 하였다.

3.2 FEM 성형 해석 및 박판 성형 실험

금속 박판과 elastomer의 성형 거동을 조사하기 위하여 유한요소법(FEM)으로 모의 성형 해석이 시도되었다. 성형 해석용 software는 ABAQUS를 사용하였다. 이 때 성형은 평면변형 상태에서 두께 1 mm, 폭 100 mm인 금속판을 두께 150 mm, 폭 300 mm인 elastomer 위에 놓고 지름 100 mm인 U자형 punch로 마찰 없이 30% 압축한다고 가정하였다.

한편, 박판성형 실험을 위해 Fig. 6과 같이 유압구동식의 punch 5개가 50 mm 간격으로 나란히 배열된 성형 장치가 제작되었다. 전체 시스템은 컴퓨터 제어부, 유압 공급부 및 성형부로 구성되어 있다. 성형부는 다시 상부의 다축 제어부와 하부의 elastomer로 이루어지며, 필요 시 elastomer는 유체로 대체할 수 있게 하였다. 다축 제어부는 서보밸브와 다축의 punch로 구성된다. punch의 최대 변위는 60 mm, 최대 속도는 33 mm/초이며, 이웃끼리 서로 밀착된 punch head의 곡면 반경은 50 mm이다. 유압 구동식 punch 블록은 유압실린더, 피스톤 rod 내장형 변위센서, 서보밸브로 구성되어 있다.

성형하려는 형상은 컴퓨터에 입력되어 다축 성형부로 전달되며, 여기서 서보 밸브를 통해 punch가 이동하면서 실시간으로 변하는 위치신호를 컴퓨터로 보내어 위치가 정밀하게 제어된다. 다축 punch는 초기에 옆으로 나란히 배열되어 있다가 제공된 위치 신호에 따라 점진적으로 이동하면서 elastomer나 유체 충진 bed 위에 놓인 금속 판재를 변형시켜 최종 형상으로 성형한다.

곡면성형 실험용 금속 박판은 두께 1 mm, 길이 250 mm, 폭 40 mm이고, 항복강도와 인장강도가 각각 129와 143 MPa인 Al100 합금 판재가 사용되었고, elastomer는 가로와 세로가 50 mm, 두께가 10 mm인 고무와 foam재를 폭, 길이, 깊이가 각각 60, 260, 170 mm 인 용기 속에 고무가 세일 아래쪽으로 가도록 적층하였다.

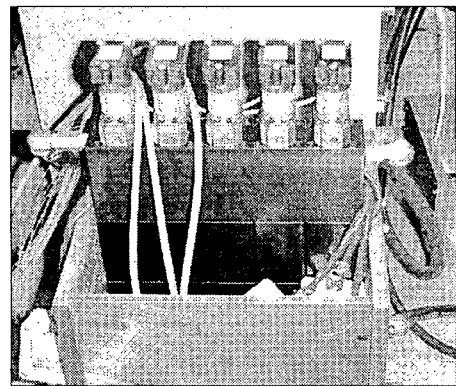


Fig. 6 Multi-point elastomer forming apparatus with 5×1 punch array.

4. 실험 결과 및 검토

4.1 Elastomer와 금속판재의 변형 특성

Fig. 7은 고무, PE, foam재의 압축변형 특성을 비교한 것이다. Elastomer는 보통 30%의 압축 변형까지는 내부 조직이 큰 손상을 받지 않고 외부응력 제거 후 원상복구 되므로⁽⁶⁾ 압축변형량은 30%로 하였다. 실험결과를 보면 대부분의 elastomer는 압축되는 동안 변형량의 증가에 따라 변형응력이 거의 직선적으로 증가하고, 압축된 시편이 원상태로 되돌아가는 과정에서는 복구 초기에 변형응력이 크게 감소한 후 점차 완만하게 감소하다가 마지막 단계에서 변형응력이 초기값에 접근하여 전체 변형곡선은 닫혀진 긴 고리 형태를 이룬다. 즉, elastomer는 압축과 복구과정 전체로는 탄성변형을 하지만 탄성한계 내에서 인장과 복구과정의 변형응력이 일치하는 금속과는 달리 동일 변형량에서 압축응력이 복구응력보다 높다.

탄성률과 압축강도는 PE가 가장 높고, foam재가 가장 낮으며, 고무류는 그 중간이다. 또한 탄성률과 압축강도가 높은 재료일수록 압축 응력과 복구응력의 차이가 커서 곡선 loop의 내부 면적이 넓다. loop의 내부 면적은 압축-복구 과정에서 재료 내부 손상과 관련된 에너지 손실량에 해당한다.⁽⁷⁾ 즉, 압축강도와 에너지 손실은 PE가 가장 크고, foam재가 가장 작으며, 그 중간인 고무류는 천연고무의 비율이 낮은 흑색고무가 황색고무보다 약간 높다.

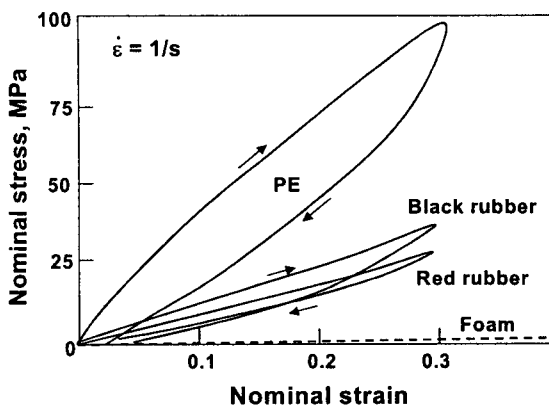


Fig. 7 Flow curves of various elastomers.

Fig. 8은 A1100과 A5083 알루미늄 합금 및 304 스텐레스강의 인장곡선이다. A1100 순알루미늄은 항복 후 약간의 가공경화를 거쳐 거의 일정한 수준의 유동응력에 도달하고, A5083 알루미늄 합금은 보다 큰 가공경화를 거쳐 최대 응력에 도달하며, 304 스텐레스강은 항복 후 긴 가공경화로 인해 항복강도에 대한 인장강도의 비가 매우 높다.

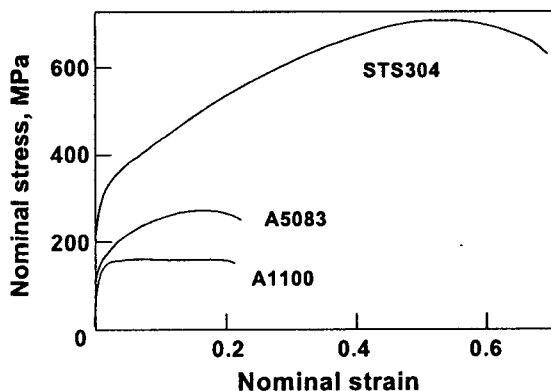


Fig. 8 Flow curves of various metals.

한편, 금속과 elastomer의 변형거동을 비교해 보면 큰 차이가 있어서, 금속은 탄성변형량이 1% 이하인 반면 elastomer는 수십% 또는 그 이상에 달한다. 따라서 elasto-forming처럼 금속과 elastomer가 동시에 변형되면 금속은 소성변형, elastomer는 탄성변형이 대부분의 변형을 지배하게 된다. 한편, 유동응력을 비교해 보면, 금속은 변형 초기 탄성한계에 해당하는 1% 이하의 변형량에서 변형응력이 급격히 증가하다가 이 후 소성변형

단계에서 완만하게 증가하는 반면에 elastomer는 수십% 또는 그 이상의 변형량까지 탄성변형을 하면서 응력이 완만하게 증가한다. 이 때 탄성계수는 금속이 $10^4 \sim 10^5$ MPa이고, elastomer는 0.1~300 MPa로서 elastomer가 금속에 비해 매우 작다. 변형량이 0.3까지 증가하여도 elastomer의 변형응력은 금속에 비해 매우 낮아서 foam재는 금속의 수백~수만분의 1, 고무류는 수십분의 1에 불과하다.

4.2 박판-elastomer 성형 해석

Elastomer를 이용한 금속판재의 MPF 성형은 기존의 MPF나 elasto-forming과는 성형 공정이 상당히 다르므로 FEM을 이용한 모의 성형해석은 성형 공정의 요소 기술 개발에 매우 유용한 정보를 제공할 수 있다.

Table 1은 모의 성형 해석에 사용된 재료상수로서, 금속판재는 150 MPa의 항복강도까지는 영률이 E_m 인 탄성변형, 그 후는 가공경화률이 E_p 인 소성변형을 하며, elastomer는 전 변형구간에서 각 소재마다 일정한 기울기를 갖는 탄성변형을 한다고 가정하였다. 이를 변형방정식으로 나타내면 아래 식 (1~3)과 같다.

Table 1 Material constants for FEM analysis.

Material		E (MPa)	E_p (MPa)	σ_y , (MPa)	ν
Metal	Al	7.05×10^4	500	150	0.34
	Fe	2.13×10^5	90	150	0.28
Elastomer	rubber	50			0.49
	foam	0.05, 5			0.1

$$\text{금속: } \sigma = E_m \varepsilon \text{ when } \varepsilon < \varepsilon_y \dots \dots \dots \quad (1)$$

$$\sigma = \sigma_y + E_p (\varepsilon - \sigma_y/E) \text{ when } \varepsilon \geq \varepsilon_y \dots \dots \quad (2)$$

$$\text{Elastomer: } \sigma = E_e \varepsilon \text{ when } \varepsilon < \varepsilon_p \dots \dots \dots \quad (3)$$

여기서 E_m 은 금속의 영률, σ_y 는 항복응력, E_p 는 소성변형 영역에서의 가공경화율이고, E_e 는 elastomer의 탄성계수이다. Poisson비 ν 는 금속인 Al과 Fe는 각각의 대표적인 값인 0.34와 0.28로 하고, elastomer인 고무와 Foam재는 각각 0.49와 0.1로 하였다. ν 가 0.25이면 완전 등방성의 탄성체이지만 대부분의 금속은 ν 가 0.33에 가깝다.^[7] 또한 고무처럼 부피 변화가 거의 없는 탄성변

형 재료는 ν 가 0.5에 가깝고, foam재처럼 부피 변화가 큰 재료는 ν 값이 매우 작다.^[8]

Fig. 9는 평면변형 상태에서 두께 1 mm, 폭 300 mm인 Al판을 두께 150 mm, 폭 300 mm인 고무와, 탄성계수가 고무의 1/1000인 foam재 위에 놓고, 선두 곡면의 지름이 100 mm인 U자형 강철대로 30% 압축할 때의 변형거동을 유한요소법으로 해석하여 수직방향의 진변형량, ϵ_{yy} 의 크기 분포를 비교한 것이다. 여기서 고무와 foam재의 ϵ_{yy} 최소값은 각각 -0.495 (39%), -0.565 (43%)이고, 최대값은 0.0732 (7.3%), 0.0263 (2.6%)으로서 강철대 아래 부분은 약 40%의 큰 압축변형, 다른 부분은 3~7%의 작은 인장변형이 나타난다.

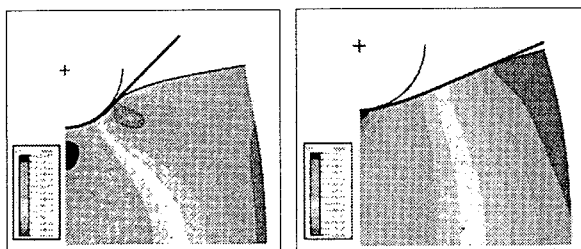


Fig. 9 Strain distribution during compression of an aluminum sheet on (a) rubber, and (b) soft foam.

이 그림으로부터 고무의 압축변형은 강철대의 약간 아래 부분에 집중되고, 그 좌우측 및 고무판 양 측면에는 작은 인장변형이 발생하는 것을 알 수 있다. Foam재는 압축변형의 집중 부위가 좌측의 고무와 유사하게 상 중앙부에서 발생하지만 작은 인장변형이 생기는 부위는 우상단으로 이동하여 여기서부터 상중앙부의 변형 집중부까지는 상당한 거리에 걸쳐서 거의 일정한 간격으로 변형량이 증가하는 특징을 보인다. 또한 고무는 최대 압축변형과 최대 인장변형 지점 간의 거리가 가까워 중심에서 좌우 양쪽 방향으로 변형량의 기울기가 급하지만 foam재는 두 지점 간의 거리가 멀어서 변형량이 완만하게 변한다. 따라서 Al판의 변형은 고무에서는 강구 아래에 집중되고 foam재에서는 전면에 걸쳐 비교적 완만하다.

이러한 결과는 elastomer의 압축강도와 Poisson 비, 즉 압축성과 관련이 있다고 생각된다. 즉, 압축해도 부피 변화가 거의 없는 고무에 비해 foam재는 부피가 쉽게 줄어들어 전체적으로 압축이 용이하므로 응력 집중이 완화된다.

Fig. 10은 앞서의 Foam재보다 탄성계수가 100배 높은

foam재 위에 두께 2 mm, 폭 300 mm인 철판을 놓고 30% 압축할 때의 변형특성을 해석한 결과이다. 좌측 그림은 제2주응력인 σ_2 의 크기 분포이고, 우측 그림은 변형된 mesh의 형태이다. 여기서 제2주응력과 mesh의 압축변형은 상기 해석 결과와 마찬가지로 elastomer의 중앙 상부에 집중되며, 중심으로부터 좌우 측면으로 멀어질수록 압축변형이 작은 것을 알 수 있다. 금속판이 변형되는 정도는 앞의 고무와 저탄성계수 foam재의 중간쯤에 해당한다.

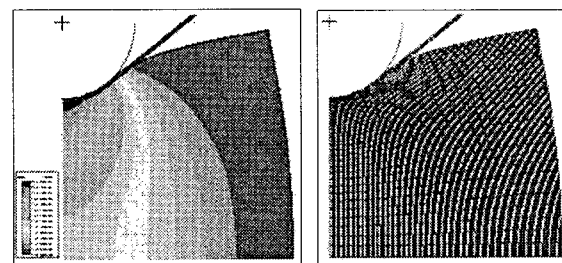


Fig. 10 Forming behavior of a steel sheet on a hard foam showing (a) distribution of a principal stress of σ_2 , and (b) flow pattern.

Elastomer는 변형이 반복됨에 따라 내부 조직이 점차 손상되는데, 변형량이 클수록 손상의 정도가 심해지며, 특히 30% 이상 변형될 때 많은 손상을 받는다.⁽⁶⁾ 본 해석 결과는 변형량이 집중되는 상중앙부에서 elastomer의 손상이 가장 빠르게 진행될 수 있음을 보여준다. 따라서 손상이 심한 상 중앙부만 교체한다면 나머지 부분은 장기간 그대로 사용이 가능하다. 공업적인 관점에서 elastomer의 위치에 따른 손상률의 차이를 고려하여 교환주기를 다르게 하면 원가는 낮추면서 생산성을 높일 수 있다.

4.3 2차원 곡면의 다점-elastomer 무금형 성형

각 종 elastomer와 금속판재의 물성실험 및 성형해석을 통해 elastomer는 그 종류와 특성에 따라 금속판의 변형에 큰 차이를 가져오는 것을 알 수 있었다. 그러므로 elastomer와 punch를 이용하는 MPF에서는 용도에 따라 적절한 elastomer의 선정이 요구된다. 즉, 탄성계수와 Poisson비가 큰 elastomer는 deep drawing과 같이 금속판에 국부적으로 큰 힘과 변형을 가할 때 유용하며, 탄성계수와 Poisson비가 작은 elastomer는 금속판의 넓은 면적에 힘을 분산시켜 완만한 경사면으로 변형시킬 때 효과적이다. 또한 여러 가지 서로 다른 특성을 갖는 elastomer를 적절히 조합하면 필요한 곳에만 큰 힘을 가

하면서 금속판을 다양한 형상으로 변형시킬 수 있다.

Fig. 11은 A1100 알루미늄 판재를 고무판 위에서 지름 8 mm인 반구형 head가 부착된 punch로 성형한 예로서 성형품은 반구 곡면의 형상이 잘 드러나 있다. 이 성형은 앞서의 성형해석에서 금속판을 고무 위에 놓고 punch로 누를 때 punch head에 집중적인 힘과 변형이 가해지는 성질을 이용한 것이다.

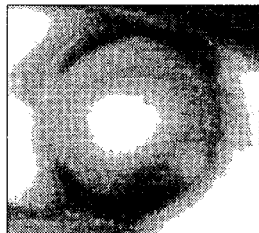


Fig. 11 Hemisphere forming using rubber and A1100 aluminium sheet.

Fig. 12는 본 연구에서 개발한, 지름 50 mm인 곡면 head를 갖는 punch 5개가 일렬로 배치된 MPEF 장치를 사용하여 A1100 알루미늄 판재를 성형한 예이다. 이 성형에서는 변형량이 큰 가운데 부분에 약 1:2의 비율로 고무 위에 foam재를 적층하여 아래로 볼록하게 성형하였다. 그림에서 보는 바와 같이 성형품의 표면은 punch 자국이 뚜렷하여 고무와 foam재의 조합이 적절하지 않음을 알 수 있다.



Fig. 12 A1100 aluminium sheet formed by MPEF method. Large defects of indents are noted on the surface.

Fig. 13은 각 punch마다 고무:foam재의 적층비가 중앙에서는 약 2:1, 가장자리는 1:2, 중앙과 가장자리 사이에는 1:1이 되게 하여 A1100 알루미늄 판재를 위로 볼록한 2차원 곡면으로 성형한 예이다. 성형 결과를 보면 성형품의 표면은 punch 자국이 거의 없이 부드러운 곡면을 형성하고 있다. 이러한 성형결과는 성형하려는 곡

면의 형상에 따라 elastomer의 종류와 조합비를 적절히 선택함으로써 새로 제안된 MPEF 방식의 곡면 성형이 가능함을 보여준다.

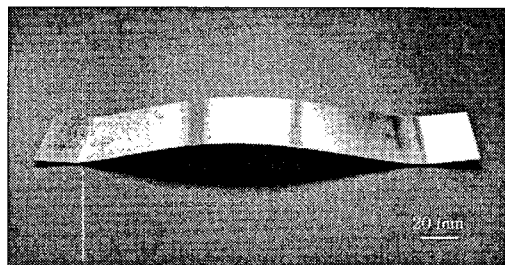


Fig. 13 Curved surface formed successfully by MPEF method.

5. 결 론

(1) MPF와 elasto-forming 방식을 결합한 신개념의 multi-point elasto-forming법이 고안되어 성형해석과 실험을 통해 새로운 방식의 박판성형 가능성이 확인되었다.

(2) 고무는 punch와 접촉하는 금속판 아래의 상중앙부에 압축변형이 집중되고, 그 좌우측 및 아래 부분은 약간의 압축변형 또는 인장변형이 생길 수 있다.

(3) foam재도 고무처럼 상중앙부에 압축변형이 집중되지만 고무에 비해 그 정도가 크지 않으며, 상중앙부로부터 측면까지 변형량이 보다 완만하게 감소한다.

(4) 고무처럼 탄성계수와 Poisson 비가 큰 elastomer는 금속판에 국부적으로 큰 변형을 가할 때 유용하며, foam재처럼 탄성계수와 Poisson비가 작은 elastomer는 금속판의 넓은 면적을 완만한 경사면으로 변형시킬 때 효과적이다.

후 기

본 연구는 KIST의 기관고유사업으로 시작되어, 현재 MOST의 국제공동연구사업으로 진행되고 있으며, 국제 공동연구의 상대국 책임자로서 많은 도움을 주고 있는 중국 길림공대의 이명철 박사에게 감사드립니다.

참 고 문 헌

- Walczyk, D. F., Lakshmikanthan J., Kirk D. R.,

- 1998, "Development of a reconfigurable tool for forming aircraft body panels", J. Manufacturing Systems, Vol. 17, No. 4, pp287~296.
- (2) Demeri, M. Y., 2001, "Key technologies for manufacturing and processing sheet materials: a global perspective", JOM, Vol. 53, Feb., pp. 33~36.
- (3) Li, M., Liu, Y. Su, S., Li, G., 1999, "Multi-point forming: a flexible manufacturing method for a 3-d surface sheet", J. Mat. Proc. Tech., Vol. 87, pp.277~280.
- (4) Li, M. Z., Cai, Z. Y., Sui, Z., Yan, Q. G., 2002, "Multi-point forming technology for sheet metal", J. Mat. Proc. Tech., Vol. 129, pp.333~338.
- (5) 박종우, 2002, "금속 판재 성형 기술의 진보" 한국소성가공학회지, 제11권 제3호, pp.223~230.
- (6) "Metals Handbook, Forming and Forging", Vol. 14, 9th edition, 1988, ASM, Metals Park, Ohio, pp. 60 5~615.
- (7) Dieter, G. E., 1976, "Mechanical Metallurgy" 2nd ed., McGraw-Hill, Tokyo, pp. 49~51, 78.
- (8) Hibbit, Karlson, Sorensen, 1997, "Modeling materials with ABAQUS", Hibbit, Karlson & Sorensen Inc., L4., L8.